

Exercícios Exemplos

(I)

a) Verdadeiro. Dentre formas $\frac{d^2u}{dx^2} < 0$ quando $x \rightarrow \infty$ e não se é normalizável.

b) Verdadeiro. O orbital só sempre menor e sempre o que deve menor é zero.

c) Verdadeiro. As soluções para \hbar^2 são sempre soluções para qualquer V_0 .

d) Verdadeiro. $x^2 \propto A^2 + (A^\dagger)^2 + A A^\dagger + A^\dagger A \in \langle h(x^2) | n \rangle \approx c' \text{ diferente de zero se } n = m \pm 2 \text{ ou } n = m.$

(II)

a) Pelo princípio da expansão

$$\Psi(x_0) = \sum_{n=0}^{\infty} A_n u_n(x_0)$$

$$\Rightarrow \text{unis } A_n \neq 0 \text{ são } A_0 = 2A ; A_1 = -4A ; A_2 = A$$

$$\text{com } \sum_{n=0}^{\infty} |A_n|^2 = 1 \Rightarrow A^2 (4 + 16 + 1) = 1 \Rightarrow A = \frac{1}{\sqrt{21}} \quad (A > 0)$$

$$\text{Logo } P(E = E_1) = |A_1|^2 = \frac{16}{21}.$$

b) $\langle H \rangle = |A_0|^2 E_0 + |A_1|^2 E_1 + |A_2|^2 E_2$

$$= \frac{1}{21} \frac{\hbar \omega}{2} (4 + 16 \times 3 + 1 \times 5) = \frac{\hbar \omega}{2} - \frac{57}{21}$$

$$= \frac{\hbar \omega}{2} \cdot \frac{19}{7}$$

c) $\Psi(x,t) = \frac{1}{\sqrt{21}} \left[2u_0(x) e^{-i \frac{\hbar \omega t}{2t}} - 4u_1(x) e^{-i \frac{5\hbar \omega t}{2t}} + u_3(x) e^{-i \frac{15\hbar \omega t}{2t}} \right]$

d) $\Psi(1, T) = \Psi(x_0) \Rightarrow \frac{\hbar \omega T}{2t} = 2\pi \Rightarrow T = \frac{4\pi}{\omega}$

A equação de Schrödinger a 1 dimensão é:

$$\frac{d^2u}{dx^2} - \frac{2m}{\hbar^2} [V(x) - E] u(x) = 0$$

1) a) Estudar b) gols $-V_0 < E < 0$. Para $x < 0$ $u(x) = 0$. Para o, outros regimes

$0 < x < a$

$$\frac{d^2u}{dx^2} + \frac{2m}{\hbar^2} [V_0 - |E|] u(x) = \frac{d^2u}{dx^2} + q^2 u(x) = 0$$

$$q = \sqrt{\frac{2m}{\hbar^2} (V_0 - |E|)}$$

$x > a$

$$\frac{d^2u}{dx^2} - \frac{2m}{\hbar^2} |E| u(x) = \frac{d^2u}{dx^2} - \alpha^2 u(x) = 0$$

$$\alpha = \sqrt{\frac{2m|E|}{\hbar^2}}$$

$$\begin{cases} u_I(x) = A \sin qx & u_I(0) = 0 \\ u_{II}(x) = B e^{-\alpha x} & u_{II}(\infty) = 0 \end{cases}$$

em $x = a$

$$\begin{cases} A \sin qa = B e^{-\alpha a} \\ -\alpha B e^{-\alpha a} - A q \cos qa = -\frac{\lambda'}{\hbar} B e^{-\alpha a} \end{cases}$$

$$\text{de onde } -\alpha B e^{-\alpha a} - q \cot qa B e^{-\alpha a} = -\frac{\lambda'}{\hbar} B e^{-\alpha a}$$

ou seja

$$-\cot qa = \frac{\sqrt{\lambda - q^2} - \lambda'}{q}$$

$$y = qa = \sqrt{\frac{2ma^2}{\hbar^2} (V_0 - |E|)}$$

$$\alpha a = \sqrt{\lambda - q^2}$$

b) $E < -V_0$

Neste caso em $0 < x < a$

$$\frac{d^2u}{dx^2} - \frac{2m}{\hbar^2} (|E| - V_0) u = \frac{d^2u}{dx^2} - k^2 u = 0$$

$$k = \sqrt{\frac{2m}{\hbar^2} (|E| - V_0)}$$

e) Pnstante

$$\left\{ \begin{array}{l} u_I(x) = A \sinh \lambda x \\ u_{II}(x) = B e^{-\alpha x} \end{array} \right.$$

para $x=a$

$$\left\{ \begin{array}{l} A \sinh \lambda a = B e^{-\alpha a} \\ -\alpha B e^{-\lambda a} - \lambda \cosh \lambda a = -\frac{\lambda'}{\alpha} B e^{-\alpha a} \end{array} \right.$$

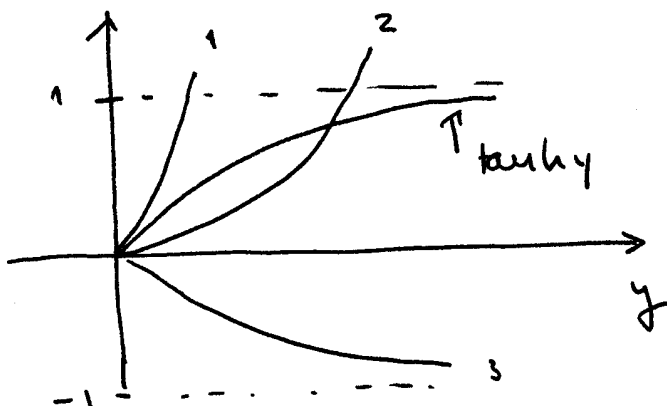
ou seja

$$\cosh \lambda a = \frac{\lambda' - \alpha a}{\alpha a}$$

e) portanto ($y=\lambda a$)

$$\boxed{\tanh y = \frac{y}{\lambda' - \sqrt{\lambda + y^2}}}$$

2) Para $E < -V_0$



1, 2, 3 valem caso diferentes de $\lambda < \lambda'$.

Seja $f(y) = \frac{y}{\lambda' - \sqrt{\lambda + y^2}}$ $\Rightarrow f'(0) = \frac{1}{\lambda' - \sqrt{\lambda}}$

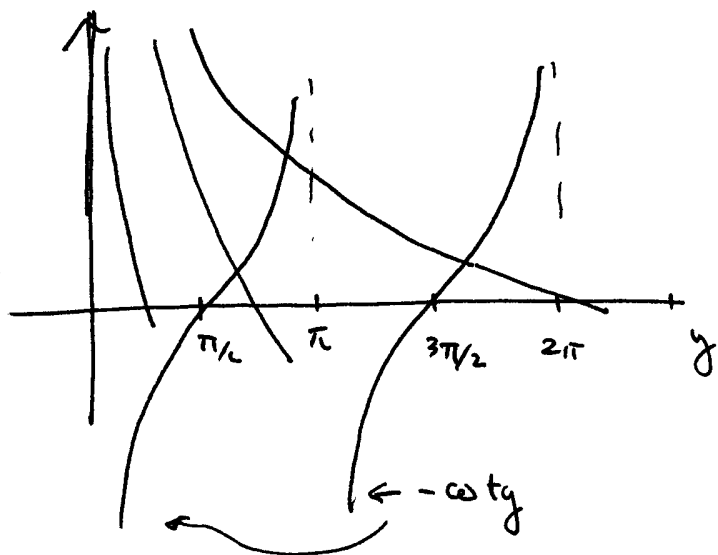
Condição: $0 < \frac{1}{\lambda' - \sqrt{\lambda}} < 1 \Rightarrow \lambda' > \sqrt{\lambda} + 1$

mas $\lambda' = \sqrt{\frac{m V_0 a^2}{8 t^2}} = \frac{1}{4} \sqrt{\frac{2 m V_0 a^2}{t^2}} = \frac{1}{4} \sqrt{\lambda} \Rightarrow \text{não há solução para } E < -V_0$

Parc $-V_0 < E < 0$

temos $-\cot y = \frac{\sqrt{\lambda - y^2} - \lambda'}{y}$. Curve se vê no gráfico

havendo soluções ligadas ao valor de λ, λ'



Por exemplo $\lambda = \left(\frac{\pi}{4}\right)^2 \Rightarrow \lambda' = \frac{\pi}{16}$

O valor máximo de y é $y_{\max} = \pi/4$ e temos

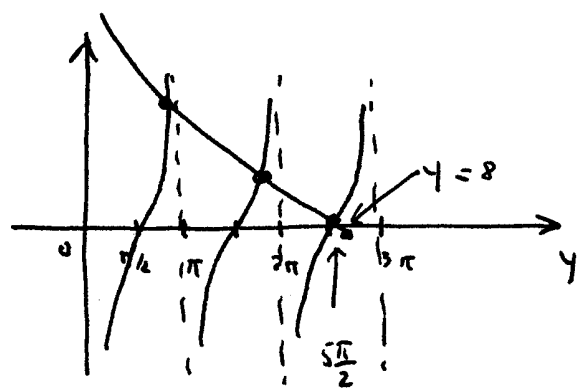
$$-\cot y_{\max} = -1 < \frac{\sqrt{\lambda - y_{\max}^2} - \lambda'}{y_{\max}} = \frac{-\frac{\pi}{16}}{\frac{\pi}{4}} = -\frac{1}{4}$$

e não havendo. Para valores maiores de λ já há. Numericamente $\lambda > 1.7579$

3) $V_0 = \frac{32 t^2}{m a^2} \Rightarrow \lambda = 64 \Rightarrow \lambda' = 2 \Rightarrow y_{\max} = \sqrt{\lambda} = 8 > 5\frac{\pi}{2}$

Curva $5\frac{\pi}{2} < y_{\max} < 3\pi$ tem a estrutura de

próximas figuras



3∞ stadien h. f. Qs.

4) $E > 0$ ($u_I(u)=0$)

$$u_I(x) = A \sin qx$$

$$u_{II}(x) = e^{-ikx} + R e^{ikx}$$

$$q = \sqrt{\frac{2m}{\hbar^2} (V_0 + E)}$$

$$k = \sqrt{\frac{2m}{\hbar^2} E}$$

bei $x=a$

$$A \sin qa = e^{-ika} + R e^{ika}$$

$$\left\{ -ik(e^{-ika} - Re^{ika}) - A q \cos qa = -\frac{\lambda'}{a} (e^{-ika} + R e^{ika}) \right.$$

or

$$-ika(e^{-ika} - Re^{ika}) - qa(e^{-ika} + R e^{ika}) \cot qa = -\frac{\lambda'}{a} (e^{-ika} + R e^{ika})$$

$$Re^{ika}(ika - qa \cot qa + \lambda') = e^{-ika}(ika + qa \cot qa - \lambda')$$

$$R = e^{-2ika} \frac{qa \cot qa - \lambda' + ika}{-qa \cot qa + \lambda' + ika} \Rightarrow |R| = 1$$

5) $j(\eta) = \frac{i}{2im} (\psi \frac{d\psi}{dx} - \psi^* \frac{d\psi^*}{dx})$

$$j_I(\lambda) = 0 \quad j_{II}(\lambda) = \frac{ik}{m} (-1 + |R|^2) = 0$$

IV

a) Verdoddeire. $L_i = \sum_j x_j P_k$ cm $\underline{k \neq j} \in [x_j, P_k] = 0$

b) Falso. Baste $\frac{1}{r^{3/2+\epsilon}}$

c) Falso. Si $f(x) = \pm \frac{t}{2}$

d) Falso nooit de fundamentaal $l=0$ e $\underline{\text{spur-antitec}}=0$. Dus o haperfunctie maar.

V

a) Trate-se dem estab que é uma combinação linear de estados com $n=2$. logo

$$\langle H \rangle = E_2 = -13.6 \frac{1}{4} \text{ ev}$$

b) A função R_{21} é normalizada e os harmônicos gerais orthonormais isto é,

$$\int d\Omega Y_{lm}^*(\theta, \varphi) Y_{l'm'}(\theta, \varphi) = \delta_{ll'} \delta_{mm'}$$

logo que devemos ter

$$|a|^2 + |b|^2 + |c|^2 = 1$$

ou (real) $\boxed{|a|^2 + b^2 + c^2 = 1}$

Calcularmos agora $\langle L_z \rangle$.

$$\langle L_z \rangle = \frac{1}{2} |a|^2 + 0 |b|^2 - \frac{1}{2} |c|^2 = 0 \Rightarrow a=c \text{ (real e positivo)}$$

Calcularmos $\langle L_x \rangle$. Temos $L_x = \frac{1}{2}(L_+ + L_-)$ e

$$L_x (a|1+1\rangle + b|10\rangle + c|1-1\rangle)$$

$$= \frac{1}{2}(L_+ + L_-)(a|1+1\rangle + b|10\rangle + c|1-1\rangle)$$

$$= \frac{\hbar}{2} \left(+ b\sqrt{2} |11\rangle + c\sqrt{2} |10\rangle + a\sqrt{2} |10\rangle + b\sqrt{2} |1-1\rangle \right)$$

$$= \frac{\hbar\sqrt{2}}{2} (b|11\rangle + 2a|10\rangle + b|1-1\rangle)$$

onde $a = c$. Usando a fm c orthonormalização dos estados $|lm\rangle$ obtém

$$\langle L_x \rangle = \frac{\hbar\sqrt{2}}{2} (ab + 2ab + ab) = 2\sqrt{2}\hbar ab$$

Comparando com $\langle L_x \rangle = \frac{\sqrt{8}}{3}\hbar$ obtém

$$\begin{cases} 2a^2 + b^2 = 1 \\ ab = \frac{1}{3} \end{cases}$$

Existe sistema para soluções

$$a = c = b = \frac{1}{\sqrt{3}}$$

$$\boxed{a = c = \sqrt{\frac{1}{6}} ; b = \sqrt{\frac{2}{3}}} \quad \checkmark \quad a < b$$

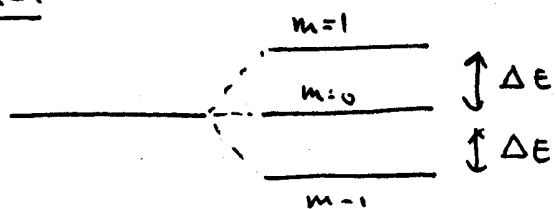
VI

- a) As funções propias do atomo de Hidrogênio tem forma $|nlm_l\rangle$ das funções propias da função h.c.f., logo

$$E_{n,m}^{(1)} = \frac{e\hbar}{2m} m_l B \equiv \mu_B B M_l$$

$$\mu_B = 5.78 \times 10^{-5} \text{ eV/T}$$

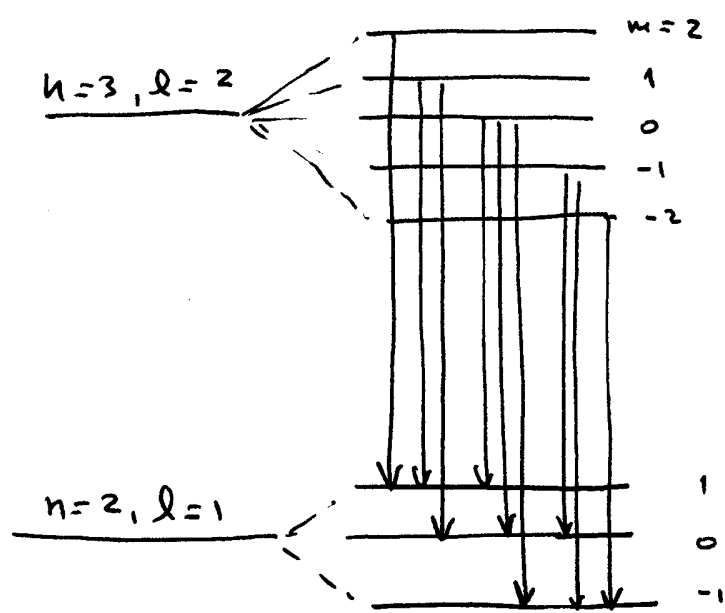
$n=2, l=1$



$$\Delta E = \mu_B B = 5.78 \times 10^{-5} \text{ eV}$$

$$\text{para } B = 1 \text{ T}$$

b)



) 9 risca.

VIIa) No estado fundamental $l=0$ e portanto há simetria efora.

Então

$$\int d\Omega (\vec{S}_e \cdot \vec{e}_r) (\vec{S}_d \cdot \vec{e}_r) = \frac{1}{3} \int d\Omega \vec{S}_e \cdot \vec{S}_d$$

pois os termos tais no parêntesis não contêm.

Assim

$$E_0^{(1)} = \langle 100 | H_{HF} | 100 \rangle = a \langle \vec{S}_e \cdot \vec{S}_d \rangle \frac{8\pi}{3} \int d^3 r |\psi_{100}(r)|^2 \delta^3(\vec{r})$$

$$\text{Com } a = \frac{e^2}{4\pi\epsilon_0} \frac{2g_d}{4m_d u_e c^2}$$

Então

$$E_0^{(1)} = \frac{8\pi}{3} a \langle \vec{S}_e \cdot \vec{S}_d \rangle |\psi_{100}(0)|^2$$

Usando

$$|\psi_{100}(0)|^2 = \frac{1}{4\pi} \frac{1}{a_0^3} = \frac{1}{\pi} \frac{m_e^3 c^3 \times 3}{h^3}$$

obtains

$$\begin{aligned} E_0^{(1)} &= \frac{8\pi}{3} \frac{e^2}{4\pi\epsilon_0} \frac{g_d}{4m_d m_e c^2} \frac{4m_e^3 c^3 \alpha^3}{4\pi \hbar^3} \langle \vec{S}_e \cdot \vec{S}_d \rangle \\ &= \frac{4}{3} m_e c^2 \alpha^4 g_d \frac{m_e}{m_d} \frac{\langle \vec{S}_e \cdot \vec{S}_d \rangle}{\hbar^2} \end{aligned}$$

b) \vec{S}_e spin $1/2$; \vec{S}_d : spin 1

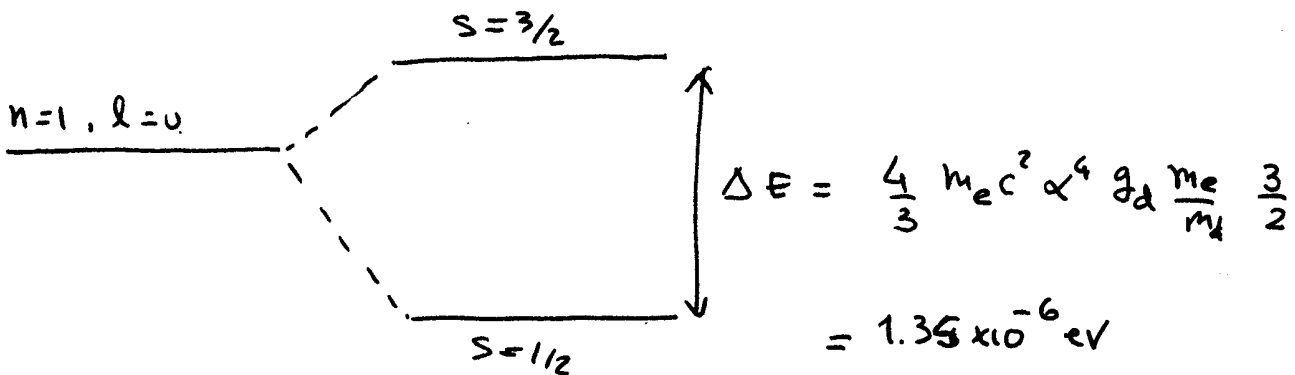
$$\vec{S} = \vec{S}_e + \vec{S}_d \quad S \text{ spin } 3/2 \text{ or } 1/2.$$

$$\begin{aligned} \vec{S}_e \cdot \vec{S}_d &= \frac{1}{2} [S^2 - S_e^2 - S_d^2] = \frac{\hbar^2}{2} [S(S+1) - \frac{3}{4} - 2] \\ &= \frac{\hbar^2}{2} [S(S+1) - \frac{11}{4}] \end{aligned}$$

to

$$\frac{\langle \vec{S}_e \cdot \vec{S}_d \rangle}{\hbar^2} = \begin{cases} S=3/2 & \frac{1}{2} \\ & \\ S=1/2 & -1 \end{cases}$$

c)



$$\lambda = \frac{c}{f} = \frac{hc}{\Delta E} = \frac{1240 \times 10^{-7} \text{ cm} \cdot \text{eV}}{1.35 \times 10^{-6} \text{ eV}} = 91.8 \text{ cm}$$